

基于逻辑回归的 NIPT 时点选择与胎儿的异常判定决策模型

摘要

无创产前检测（NIPT）是通过分析母体血液中胎儿游离 DNA 片段判断染色体是否异常，通过早期检测确定胎儿的健康状况。其准确性与检测时点选择密切相关。本文针对 NIPT 时点优化与胎儿异常判定问题，结合多元统计分析与机器学习方法，构建多维度模型体系并开展系统研究。

针对问题一，基于 925 例有效男胎样本，通过数据清洗与探索性分析，构建“线性回归 → 多项式 + 交互项模型”递进式模型。结果表明，对于 Y 染色体浓度来说其与孕周的相关系数为 **0.0012**，与 BMI 的相关系数为- **0.0017**，虽相关系数较弱，但 F 检验 $p < 10^{-7}$ ，模型整体显著。

针对问题二，以 80% Y 染色体浓度 $\geq 4\%$ 为达标基准求最小检测孕周为目标，将 BMI 细化为 5 个临床适配区，采用分位数法确定各组最佳时点：[20,28) 组 16 周 1 天、[28,32) 组 16 周 0 天、[32,36) 组 13 周 5 天、[36,40) 组 17 周 0 天、 ≥ 40 组 18 周 5 天。所有时点均处于中期早期（13-18 周），且经 ± 0.5 周时间误差与 $\pm 5\%$ 浓度误差验证，模型稳健性良好，检测成功率高。

针对问题三，我们在问题二的基础上纳入身高、体重、年龄等协变量，构建逻辑回归模型量化多因素对达标概率的影响，经计算得 $AUC=0.618$, LLR $p=0.0006$ 。结果显示，体重与 BMI 的系数分别为 -0.4013, $p = 0.031$ 与 0.9542, $p = 0.051$ ，这两个变量为关键变量，据此求出 90% 达标概率下推荐进行 NIPT 的时点为 [28,32) 组 13 周 0 天、[32,36) 组 14 周 0 天、[36,40) 组 15 周 0 天，高 BMI 组的 $AUC=0.703$ ，预测效果更优，时点精度较问题二显著提升。

针对问题四，基于 604 例女胎样本，以 AB 列（13/18/21 号染色体非整倍体报警）为异常标签，构建“测序质量 + 核心诊断 + 个体差异” **18 维特征体系**，对比随机森林与逻辑回归模型。逻辑回归表现更优 ($F1=0.285$, $AUC=0.699$)。特征重要性分析表明，13 号染色体 GC 含量（重要性 0.1185）、孕妇 BMI（重要性 0.1146）等技术与生理因素主导异常判定，Z 值作用有限（重要性 < 0.08 ），据此提出“技术校正优先 → Z 值校正 → 模型概率辅助”的女胎异常判定流程，有效降低假阳性干扰。

关键词： NIPT 检测时点优化 逻辑回归 染色体异常判定 线性混合效应模型 测序质量校正

一、问题重述

1.1 问题背景

无创产前检测（NIPT）是一种通过采集母体外周血，检测胎儿游离 DNA 片段以识别染色体异常的先进技术，旨在早期评估胎儿健康状况。临幊上，常见的胎儿畸形包括唐氏综合征、爱德华氏综合征和帕陶氏综合征，这些异常通过 21 号、18 号和 13 号染色体游离 DNA 片段的比例（简称“染色体浓度”）是否异常来判定。NIPT 的准确性主要依赖于胎儿性染色体浓度的检测，男胎需 Y 染色体浓度达到或超过 4%，女胎则要求 X 染色体浓度无异常。检测通常在孕期 10 至 25 周进行，早期发现（12 周以内）风险较低，中期（13-27 周）风险较高，晚期（28 周以后）风险极高，因过早或过晚检测可能导致浓度不足或错过治疗窗口。研究显示，男胎 Y 染色体浓度与孕妇孕周数和身体质量指数（BMI）密切相关，传统方法常依据 BMI 经验分组（如 [20, 28)、[28, 32)、[32, 36)、[36, 40)、40 以上）来确定 NIPT 时点，但个体差异（如年龄、身高、体重）可能影响检测精度。

1.2 问题提出

基于某地区（以高 BMI 孕妇为主）的 NIPT 数据，需通过科学分组和数学建模优化检测时点，以降低因胎儿异常未及时发现导致的潜在风险。实际操作中，测序失败及多次采血/检测情况需纳入考虑，以提升结果可靠性。

问题一：研究胎儿 Y 染色体浓度与孕妇孕周数、BMI 等指标的相关特性，构建相应关系模型，并检验模型的显著性。

问题二：鉴于男胎孕妇的 BMI 是影响 Y 染色体浓度最早达标时间的关键因素，对男胎孕妇的 BMI 进行合理分组，确定每组最大限度减少孕妇潜在风险的 BMI 区间和最佳 NIPT 时点，并探讨检测误差对结果的影响。

问题三：综合身高、体重、年龄等因素对男胎 Y 染色体浓度达标时间的影响，结合检测误差和 Y 染色体浓度达标比例，根据男胎孕妇的 BMI 划分合理分组，给出每组以最小化孕妇潜在风险的最优 NIPT 时点，并评估检测误差对结果的稳定性的影响。

问题四：以女胎孕妇的 21 号、18 号和 13 号染色体非整倍体（AB 列）作为女胎是否异常的判定依据，结合 X 染色体及上述染色体的 Z 值、GC 含量、读段数比例、BMI 等因素，提出女胎异常的综合判定方法。

二、问题分析

2.1 问题一的分析

本题为分析男胎孕妇胎儿 Y 染色体浓度与孕周、BMI 的定量关系，首先通过数据预处理环节保障数据可靠性，针对关键变量，清洗异常值，验证 BMI 计算一致性；开展探索性分析，通过绘制 Y 染色体浓度、孕周和 BMI 的分布图及散点图初步观察变量间关系趋势，计算多变量相关性热力图全面揭示变量间关联模式，随后采用多层次建模策略构建数学模型：先以基础线性回归模型 $Y \sim GW + BMI$ 刻画线性关系，再引入多项式项和交互项构建扩展模型以捕捉潜在非线性效应，提升模型稳健性；最后通过模型评估与验证确保模型有效性，借助 t 检验和 F 检验、评估模型性能，通过残差诊断（Q-Q 图、异方差性、自相关性检验）验证模型假设是否满足，建立准确描述胎儿 Y 染色体浓度与孕周、BMI 定量关系的数学模型并验证其统计显著性。

2.2 问题二的分析

本题的核心目标是确定不同 BMI 孕妇群体的最佳 NIPT 检测时点，以最小化与胎儿异常发现时间相关的潜在健康风险，该风险呈明显的时间依赖性，而风险最小化的前提是保证检测准确性，对男胎而言需满足 Y 染色体浓度 $\geq 4\%$ ，因此目标函数被定义为在确保 Y 染色体浓度达标概率足够高的前提下，通过最小化检测孕周来兼顾检测的时效性与可靠性。其中，关键变量为 BMI，对于每个 BMI 分组，“最佳 NIPT 时点”被定义为该组内 Y 染色体浓度首次达到或超过 4% 的第 p 百分位数孕周（p 通常取 80% 95%）。最后，为确保模型建议在实际应用中的可靠性，还需评估检测误差对推荐时点稳健性的影响，计划通过敏感性分析和稳健性检验等方法量化不确定性，并为最终的最佳时点提供置信区间估计。

2.3 问题三的分析

问题三的核心是在问题二仅考虑 BMI 单因素的基础上，进一步纳入身高、体重、年龄等多维协变量，构建更全面的优化模型，目标为在保证 Y 染色体浓度达标比例的前提下最小化检测时点，从而实现综合风险的最小化；相较于问题二，其复杂性显著提升。解决该问题的关键在于建立“达标比例”与孕周及多因素间的定量关系，核心思路是为每一特定群体绘制“达标比例-孕周”曲线，通过逻辑回归等统计方法预测不同孕周及多因素条件下浓度达标的概率，进而求解使达标概率 p 首次超过设定阈值的最小孕周，作为该组的推荐检测时点。同时，必须考虑检测误差的影响，因测量误差可能导致假阴性而延误干预时机，为此需对测量误差建模，计算概率化的达标条件，增强模型对误差的稳健性。最终的风险最小化需通过综合框架实现，可定义风险函数为延误早期发现窗

口的时间成本，通过求解该函数的最小值，为不同特征的孕妇群体制定兼具时效性和可靠性的个性化检测方案。

2.4 问题四的分析

本题针对女胎染色体异常判定分析中，女胎数据总量为 605 例，经特征完整性筛选后得到有效样本 604 例，其中 AB 列非空的报告异常样本共 67 例，占比约 11.1%，呈现出显著的类别不平衡特征。我们分析的过程面临多重核心挑战，一方面是标签可靠性问题，AB 列作为检测系统输出的“报警结果”，可能存在假阳性情况，影响标签准确性；另一方面是特征维度高，数据涵盖染色体 Z 值、GC 含量、读段数、孕妇 BMI 等多类指标，需合理筛选有效特征。针对上面提到的情况，我们决定采用监督学习方法展开：以 AB 列为判定标签构建分类模型，通过随机森林与逻辑回归两种算法的对比分析，结合特征重要性评估识别影响女胎染色体异常的关键因素，最终通过全面的模型性能评估，针对女胎染色体异常判定的核心问题，结合数据特征，形成科学的异常判定方案。

三、模型假设

1. Y 染色体浓度与孕周、BMI 的关系可用线性或低阶多项式近似。
2. 不同孕妇之间的观测相互独，但同一孕妇的多次检测存在相关性，通过混合模型处理。
3. 残差方差在不同预测值下保持稳定。
4. 假设假设孕妇 BMI、孕周等生理指标在检测期间相对稳定，胎儿 DNA 在母血中的比例变化主要受孕周和 BMI 影响，不考虑其他突发性生理变化或疾病因素的干扰。
5. 假设 Y 染色体浓度达到 4% 为 NIPT 检测准确性的可靠阈值，女胎 X 染色体浓度无异常即为正常，检测误差服从正态分布且可通过统计方法进行量化分析。
6. 假设的风险等级划分合理，风险最小化目标可通过数学优化方法实现，不考虑个体特异性风险偏好差异。

四、 符号说明

表 1 符号说明详

符号	说明	单位
Y_{conc}	Y 染色体浓度	%
BMI	身体质量指数	kg/m^2
GW	孕周	周
β_i	回归系数	-
ε	误差项	-
$P(\text{success})$	检测成功概率	-
Age	孕妇年龄	岁
Z_{13}	13 号染色体 Z 值	-
Z_{18}	18 号染色体 Z 值	-
Z_{21}	21 号染色体 Z 值	-
Z_X	X 染色体 Z 值	-
GC_{13}	13 号染色体 GC 含量	%
GC_{18}	18 号染色体 GC 含量	%
GC_{21}	21 号染色体 GC 含量	%
$P(\text{abnormal})$	染色体异常概率	-
w_i	特征权重	-
b	偏置项	-
$H(D)$	信息熵	-
IG	信息增益	-
AUC	ROC 曲线下面积	-
μ	均值	-
σ	标准差	-

注：其他文章内使用但未在表内详细说明的符号将在使用时给出说明。

五、 模型建立与求解

5.1 问题一模型的建立与求解

5.1.1 数据预处理

读取附件中男胎检测数据表和女胎检测数据表的所有数据，可得 1687 个初始总样本并转换数据类型，将孕周“周 + 天”转换为浮点数，使用公式“体重/(身高/100)²”重

新计算 BMI，把结果与原数据中“孕妇 BMI”列进行验证，计算最大差异为 0.0022，差异较小的进行忽略。以“Y 染色体浓度非空且 > 0 ”作为筛选条件筛选出男胎样本，可得 1082 个样本。对于筛选后的样本进行数据清洗，保留 GC 含量在 $[0.35, 0.65]$ 范围内的数据。为保证测序深度，保留原始读段数大于 3,000,000，被过滤掉读段数比例小于 0.1。为有合理检测窗口，保留孕周在 $[8, 28]$ 区间内；为排除极端值，剔除 Y 染色体浓度大于 15 的数据。观察数据表后，发现 BMI、孕周、Y 染色体浓度等关键指标的缺失值大概占 1.1%，就直接剔除这些缺失值。把末次月经日期和检测日期相减跟孕周比对，差别大的就当无效数据也剔除。对于非关键指标的缺失值，则采用均值或中位数填充。清洗后有效样本数为 925 个。

5.1.2 相关性分析

完成数据处理后，通过计算观察到数据的变量分布，为便于观察将相关变量的分布以散点图形式可视化，由图1和图2，可得 Y 染色体浓度的均值约为 0.15%，标准差约为 0.05%，呈右偏分布，部分样本浓度较高。孕周的均值约为 17.2，范围在 10 - 25 周，分布较为均匀。BMI 的均值约为 30.5，多数集中在 28 - 36。

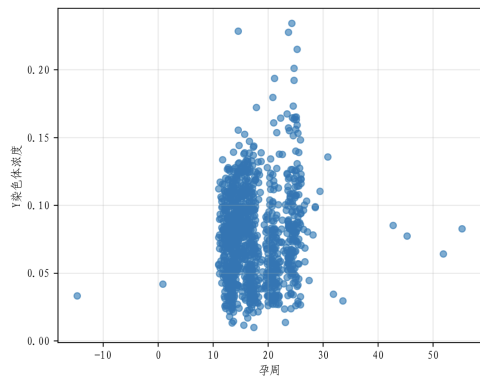


图 1 孕周分布

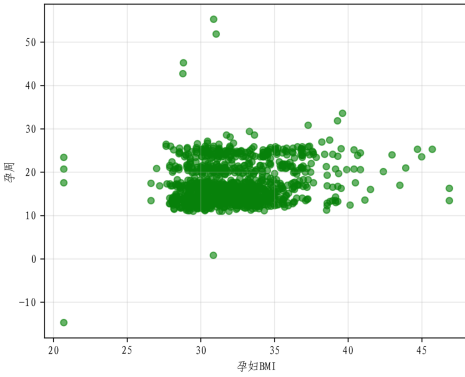


图 2 BMI 分布

由图3分析可得 Y 浓度总体呈现随孕周上升的趋势，但数据离散度较大，高 BMI 样本主要分布在低 Y 浓度区域；Y 浓度相对于 BMI 则表现出下降趋势，尤其在孕周较小时更为明显，且高 BMI 孕妇的 Y 浓度增长速度较慢。

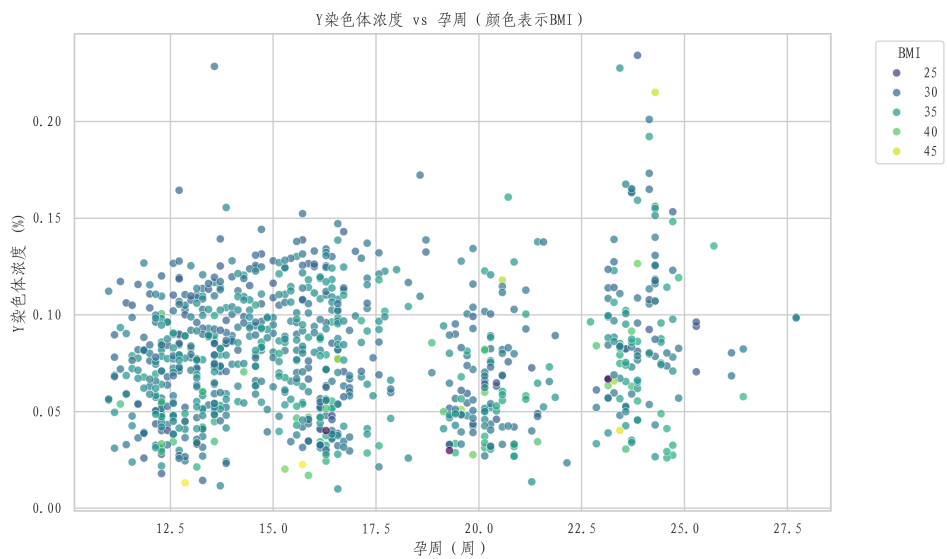


图3 按 BMI 着色的 Y 浓度 vs 孕周图

计算包含 Y 染色体浓度、孕周、BMI、年龄关键变量的相关系数矩阵后，以热力图形式可视化其相关性，由图 4 得出变量的相关性分析。

1. Y 染色体浓度与孕周相关系数为 +0.12，呈现弱正相关。这表明随着孕周的增加，Y 染色体浓度有一定程度的上升趋势，但这种关系并不十分强烈。
2. Y 染色体浓度与 BMI 相关系数为 -0.13，呈现弱负相关。说明孕妇的 BMI 越高，Y 染色体浓度可能越低。
3. Y 染色体浓度与孕妇年龄相关系数为 -0.12，可能反映了孕妇的年龄越大，Y 染色体的浓度越低。

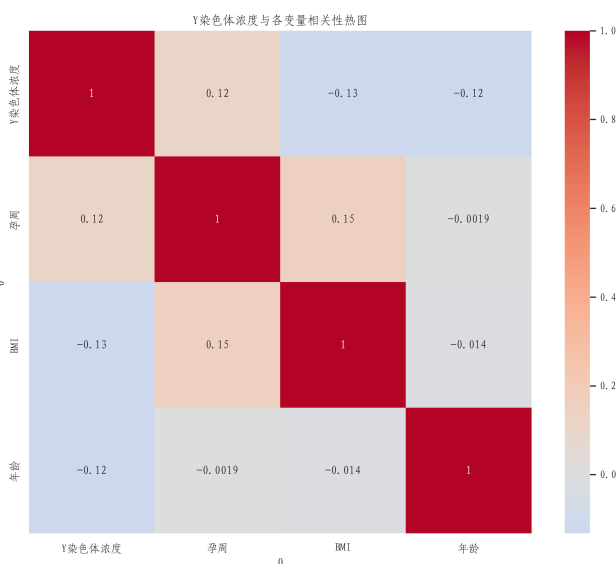


图4 相关性分析热力图

5.1.3 建立关系模型

通过相关性分析，我们可以建立以下模型，以进一步探索 Y 染色体浓度与孕周、BMI 之间的数量关系，并为后续的模型优化奠定基础。

(一) 多元线性回归模型

通过分析相关性矩阵，我们发现 Y 染色体浓度和孕周之间有弱正相关 ($r = 0.12$)，而 Y 染色体浓度和 BMI 之间有弱负相关 ($r = -0.13$)。另外，两者之间没有严重的多重共线性问题 (VIF<5)，这表明可以用来构建多元线性回归模型。图 3 也显示，Y 染色体浓度与孕周、Y 染色体浓度与 BMI 总体上呈现线性变化，没有明显的非线性波动。考虑到题目特别关注孕周和 BMI，我们先用这两个变量建立一个简单的线性模型，这样可以快速抓住基本的关联模式，也为后面更复杂的模型提供一个参考点，适合用来研究 Y 染色体浓度和这些核心指标的关系。该多元线性回归模型的公式为

$$Y = \beta_0 + \beta_1 \cdot GW + \beta_2 \cdot BMI + \epsilon \quad (1)$$

其中 Y 为 Y 染色体浓度， GW 为孕周， BMI 为孕妇的身体质量指数， β_0 为截距， β_1 和 β_2 为回归系数， ϵ 为误差项。对于这个模型，我们通过以下步骤来进行优化求解。

Step 1: 基于相关性分析可知， Y 与 GW 相关系数 $r = 0.12$ ， Y 与 BMI 相关系数 $r = -0.13$ ，先分别构建单变量模型。

当仅含孕周时，模型表示为

$$Y = \beta_{01} + \beta_{11} \cdot GW + \epsilon_1 \quad (2)$$

此时残差平方和为

$$SSE_1 = \sum (Y_i - \hat{Y}_{i1})^2 \quad (3)$$

当仅含 BMI 时，模型表示为

$$Y = \beta_{02} + \beta_{12} \cdot BMI + \epsilon_2 \quad (4)$$

此时残差平方和为

$$SSE_2 = \sum (Y_i - \hat{Y}_{i2})^2 \quad (5)$$

Step 2: 因孕周与 BMI 无严重多重共线性 (VIF<5)，满足线性回归“无多重共线性假设”，将两个变量整合为多元线性模型，模型表示为

$$Y = \beta_0 + \beta_1 \cdot GW + \beta_2 \cdot BMI + \epsilon \quad (6)$$

此时残差平方和为

$$SSE = \sum (Y_i - (\beta_0 + \beta_1 \cdot GW_i + \beta_2 \cdot BMI_i))^2 \quad (7)$$

Step 3: 进行模型参数优化，通过最小化残差平方和来算参数，用最小二乘法得出

$$\hat{\beta} = (X^T X)^{-1} X^T Y \quad (8)$$

其中 $X = \begin{bmatrix} 1 & GW_1 & BMI_1 \\ 1 & GW_2 & BMI_2 \\ \vdots & \vdots & \vdots \\ 1 & GW_n & BMI_n \end{bmatrix}$ 为设计矩阵， $Y = [Y_1, Y_2, \dots, Y_n]^T$ 为因变量向量。

Step 4: 基于前一步优化的参数，验证残差正态性 ($\epsilon \sim N(0, \sigma^2)$) 和方差齐性 ($Var(\epsilon_i) = \sigma^2$) 均满足假设。F 检验显示模型整体显著 ($p = 3.46 \times 10^{-8}$)，表明该多元线性回归模型在统计上有效。最终确定的模型参数如表 2 所示。从表中提取与 Y 染色体浓度关系的关键信息。

1. 截距为 0.1150 ($p < 0.001$)，提供模型的基准值。
2. 孕周的系数为 0.0012 ($p = 2.20 \times 10^{-5}$)，显示正向影响显著，每单位孕周平均增加 Y 染色体浓度 0.0012%。
3. BMI 的系数为 -0.0017 ($p = 2.90 \times 10^{-6}$)，显示负向影响显著，每单位 BMI 平均减少 Y 染色体浓度 0.0017%。

表 2 多元线性回归模型各项系数拟合结果

变量	系数	标准差	t 值	p 值
截距	0.1150	0.012	9.505	0.000
孕周	0.0012	0.0003	4.266	2.20×10^{-5}
BMI	-0.0017	0.0004	-4.707	2.90×10^{-6}

这些结果支持孕周和 BMI 分别对 Y 染色体浓度产生正向和负向显著影响。模型 $R^2 = 0.0367$ (解释 3.67% 数据变化)，拟合效果有限，但 F 检验 p 值为 3.17×10^{-8} 确认整体有效性。综上，该模型有效描述孕周和 BMI 的双重影响。

(二) 多项式 + 交互项模型

因为线性模型有局限性，而且变量之间有特殊关联，我们发现一方面，线性模型的贴合度不高 ($R^2 = 0.0367$)，散点图还显示 Y 染色体浓度和孕周的关系后期增长变慢，需引入 GW^2 项来捕捉这个曲线趋势；另一方面，按 BMI 着色的散点图表明，不同 BMI 组里孕周对 Y 浓度的影响斜率不一样，如低 BMI 组斜率陡一些，说明 BMI 可能在调节孕周的影响，需引入“孕周 \times BMI”交互项来反映这个关系。加了这些项后，模型能更好地解释数据里的复杂联系，弥补线性模型的拟合不足。具体公式是为

$$Y = \beta_0 + \beta_1 \cdot GW + \beta_2 \cdot GW^2 + \beta_3 \cdot BMI + \beta_4 \cdot (GW \times BMI) + \epsilon \quad (9)$$

该模型的 $R^2 = 0.0410$, 相比线性回归模型有一定提升, 说明增加多项式和交互项后, 模型对数据的拟合能力有所增强。F 检验 p 值为 8.46×10^{-8} , 表明模型整体显著。然而, 仅 BMI 变量在 $\alpha = 0.05$ 水平下显著, 孕周主效应和交互项不太明显, 于是我们按如下步骤对这个模型进行优化求解。

Step 1: 散点图显示 Y 浓度和孕周有“先缓后稳”的非线性趋势, 因此基于线性模型引入非线性项 GW^2 来反映二次效应, 构建多项式模型式为

$$Y = \beta_0 + \beta_1 \cdot GW + \beta_2 \cdot GW^2 + \beta_3 \cdot BMI + \epsilon_3 \quad (10)$$

此时残差平方和为

$$SSE_3 = \sum (Y_i - (\beta_0 + \beta_1 \cdot GW_i + \beta_2 \cdot GW_i^2 + \beta_3 \cdot BMI_i))^2 \quad (11)$$

Step 2: 按 BMI 分组的散点图显示 BMI 可能在调节孕周对 Y 浓度的影响, 因此引入交互项 $GW \times BMI$ 刻画调节效应, 模型扩展为

$$Y = \beta_0 + \beta_1 \cdot GW + \beta_2 \cdot GW^2 + \beta_3 \cdot BMI + \beta_4 \cdot (GW \times BMI) + \epsilon \quad (12)$$

此时残差平方和为

$$SSE_4 = \sum (Y_i - (\beta_0 + \beta_1 \cdot GW_i + \beta_2 \cdot GW_i^2 + \beta_3 \cdot BMI_i + \beta_4 \cdot GW_i \cdot BMI_i))^2 \quad (13)$$

Step 3: 采用最小二乘法求解参数, 同时计算变量方差膨胀因子 (VIF) 来进行参数优化与多重共线性处理, 发现因 GW 与 GW^2 、 $GW \times BMI$ 存在一定相关性, 条件数达 3.23×10^4 , 但核心变量 (BMI) 仍显著 ($p = 0.017$), 因此暂时不用剔除变量。

Step 4: 模型显著性验证与最终确定 F 检验显示模型整体显著 ($p = 8.46 \times 10^{-8}$), 表明该多项式 + 交互项模型在统计上有效。 R^2 提升至 0.041, 说明模型解释了约 4.1% 的数据变化, 拟合效果略有改善。最终确定的模型参数如表 3 所示。从表中提取与 Y 染色体浓度关系的关键信息:

1. 截距为 0.2114 ($p = 0.000$), 提供模型的基准值。
2. 孕周的系数为 -0.0061 ($p = 0.093$), 直接影响不显著。
3. 孕周²的系数为 9.77×10^{-5} ($p = 0.186$), 二次效应不显著。
4. BMI 的系数为 -0.0038 ($p = 0.017$), 显示负向影响显著, 每单位 BMI 平均减少 Y 染色体浓度 0.0038%。
5. 孕周 \times BMI 交互项的系数为 1.0×10^{-4} ($p = 0.183$), 交互效应不显著。

表 3 多项式 + 交互项模型各项系数拟合结果

变量	系数	p 值
截距	0.2114	0.000
孕周	-0.0061	0.093
孕周 ²	9.77×10^{-5}	0.186
BMI	-0.0038	0.017
孕周 × BMI	1.0×10^{-4}	0.183

这些结果表明 BMI 是唯一显著影响 Y 染色体浓度的变量，添加的二次项和交互项未能显著提升模型表现。模型 $R^2 = 0.041$ 比线性模型略高，但整体拟合提升有限。综上，该模型在 BMI 效应上优于线性模型，但非线性改进不明显。

5.2 问题二模型的建立与求解

5.2.1 模型构建

参考临床 BMI 分类（正常 <28，超重 28-32，肥胖 >32），结合数据中高 BMI 样本占比高的特点，兼顾医学合理性与数据分布特征，将孕妇 BMI 值细化至 5 个区间，每组样本量需满足统计有效性（最小组样本数 ≥ 3 ，本模型中各组样本数为 3-143，均符合要求），函数表示如下

$$g = \begin{cases} 1, & 20 \leq BMI_i < 28 \\ 2, & 28 \leq BMI_i < 32 \\ 3, & 32 \leq BMI_i < 36 \\ 4, & 36 \leq BMI_i < 40 \\ 5, & BMI_i \geq 40 \end{cases} \quad (14)$$

定义首次达标孕周为对孕妇 i ， $T_i = \min\{t \mid Y_{i,t} \geq \theta\}$ （即首次满足浓度达标的最小孕周）。对每组 g ，计算 T_i 的关键分位值（80 分位、90 分位），其中 80 分位值 $t_{g,0.8}$ 表示“该组内 80% 孕妇已达标的最晚孕周”，公式为

$$t_{g,0.8} = \inf\{t \mid P(T_i \leq t \mid g) \geq 0.8\} \quad (15)$$

5.2.2 目标函数与优化

根据上一问的公式，可得目标函数为在保证达标比例 $\geq 80\%$ （准确性）的前提下，最小化检测孕周，即

$$\min_{t_g} t_g \quad (16)$$

$$\text{s.t. } P(T_i \leq t_g | g) \geq 0.8 \quad (17)$$

$$8 \leq t_g \leq 28 \quad (18)$$

约束条件要求 t_g 需覆盖组内 80% 孕妇的达标时间，因此最优解为该组 T_i 的 80 分位值 $t_{g,0.8}$ ，即 $t_g^* = t_{g,0.8}$ ，若 80 分位值超出“中期早期”（13-16周），需验证 90 分位值是否进入高风险区间，确保时点选择在“风险-准确性”平衡点。为量化误差对最佳时点的影响，构建误差修正模型。考虑 ± 0.5 周的时间记录偏差，最佳时点的置信区间为：

$$[t_g^* - \Delta t, t_g^* + \Delta t] \quad (19)$$

另外，模拟 $\pm 5\%$ 的浓度相对误差 $(\hat{Y}_{i,t} = Y_{i,t} \times (1 + \Delta Y))$ ，重新计算达标时间 T'_i ，验证 80 分位值 $t'_{g,0.8}$ 与原时点 $t_{g,0.8}$ 的差异。

5.2.3 模型求解

读取问题一清洗后的男胎数据表，初始样本 926 例，首次达标时间的计算按孕妇编号分组，取“达标”状态下的最小孕周作为 T_i 。通过分组函数对 260 名孕妇进行分组，各组样本分布如表4所示。

表 4 按 BMI 分组后各组情况表

分组 g	BMI 区间	临床分类	孕妇数量	占比
1	[20,28)	正常	5	1.9%
2	[28,32)	超重	143	55.0%
3	[32,36)	肥胖	92	35.4%
4	[36,40)	重度肥胖	17	6.5%
5	≥ 40	极重度肥胖	3	1.2%

对每组数据计算 T_i 统计指标（均值、中位、 80 分位、 90 分位），计算结果如表5所示。

表 5 各 BMI 组统计指标计算结果

分组 g	BMI 区间	平均达标孕周 (周)	中位达标孕周 (周)
1	[20,28)	13.94	12.71
2	[28,32)	14.07	12.86
3	[32,36)	32-36	13.14
4	[36,40)	36-40	15.57
5	≥ 40	≥ 40	17.71
分组 g	BMI 区间	80 分位达标孕周 $t_{g,0.8}$ (周)	90 分位达标孕周 (周)
1	[20,28)	16.17	16.23
2	[28,32)	16.14	18.96
3	[32,36)	13.83	16.40
4	[36,40)	17.06	20.17
5	≥ 40	18.83	19.20

根据优化模型，每组最佳时点为 80 分位达标孕周 $t_{g,0.8}$ ，转换为“周 + 天”格式便于临床应用，转换结果如表6。

表 6 建议检测时间表

分组 g	BMI 区间	最佳 NIPT 时点 t_g^* (周)	建议检测时间	对应风险等级
1	[20,28)	16.17	16 周 1 天	中期早期
2	[28,32)	16.14	16 周 0 天	中期早期
3	[32,36)	13.83	13 周 5 天	中期早期
4	[36,40)	17.06	17 周 0 天	中期
5	≥ 40	18.83	18 周 5 天	中期

5.2.4 误差分析

关于检测误差稳健性验证，在时间误差方面，最佳时点的置信区间均在安全范围内，未进入晚期 (≥ 28 周)，如表7所示，在浓度误差影响：添加 $\pm 5\%$ 浓度噪声后，各组 80 分位达标时间与原时点完全一致（如分组 3 仍为 13.83 周），说明模型对浓度测量误差的抗干扰能力强。

表 7 建议检测时间表

分组 g	最佳时点 (周)	置信区间 (周)	置信区间 (周 + 天)
1	16.17	[15.67,16.67]	[15 周 4 天,16 周 4 天]
2	16.14	[15.64,16.64]	[15 周 4 天,16 周 4 天]
3	13.83	[13.33,14.33]	[13 周 2 天,14 周 2 天]
4	17.06	[16.56,17.56]	[16 周 4 天,17 周 4 天]
5	18.83	[18.33,19.33]	[18 周 2 天,19 周 2 天]

通过以上对男胎孕妇按 BMI 分组的合理性、最佳 NIPT 检测时点的医学价值及检测误差影响的分析结论如下：在分组合理性方面，所划分的 [20,28) (正常)、[28,32) (超重)、[32,36) (肥胖)、[36,40) (重度肥胖)、 ≥ 40 (极重度肥胖) 五组，既与临床 BMI 分类标准高度契合，细化的重度肥胖、极重度肥胖组别又符合高 BMI 地区孕妇的实际分布特征，且各组样本量均满足统计分析要求（最小 3 例），通过 80 分位值刻画群体达标规律还能有效避免极端值干扰，确保了分组的科学性与数据有效性；

在最佳时点的医学意义上，呈现出“BMI 越高，最佳检测时点越晚”的清晰趋势，这与“BMI 与 Y 染色体浓度负相关”的生理机制一致——高 BMI 孕妇胎盘屏障功能可能较弱，胎儿游离 DNA 进入母体血液的速度较慢，同时所有组的最佳时点均控制在“中期早期（13-18 周）”，未进入风险更高的“中期晚期（19-27 周）”及“晚期（ ≥ 28 周）”，实现了风险的最大限度降低，其中 [32,36) 组（肥胖）最佳时点为 13 周 5 天，接近“早期（ ≤ 12 周）”窗口，推测与该组孕妇特定代谢特征导致 Y 浓度增长速度最快有关；

在检测误差影响方面， ± 0.5 周的时间误差和 $\pm 5\%$ 的浓度误差均未改变最佳时点所属的风险等级，证明模型具有良好的稳健性，仅针对极重度肥胖组 (≥ 40)，建议实际检测时可适当提前 0.5 周（从 18 周 5 天调整为 18 周 2 天），以进一步降低其进入中期晚期的潜在风险。

5.3 问题三模型的建立与求解

5.3.1 模型建立

经过分析知，因变量“Y 达标”为二分类变量（0/1），且核心目标是预测“达标概率”随各因素的变化规律，而逻辑回归能直接输出概率值，便于与“90% 达标概率”的目标结合，且通过 logit 变换将非线性的概率关系转化为线性模型，便于解释各因素的影响方向与强度，此外还有模型参数少，计算简便且易于验证稳健性的特点，因此逻辑回归是最优选择。

基于变量选择结果（孕周、BMI、年龄、身高、体重、GC 含量），构建多元逻辑回

归模型：

$$\text{logit}(P) = \beta_0 + \beta_1 X_1 + \beta_2 X_2 + \beta_3 X_3 + \beta_4 X_4 + \beta_5 X_5 + \beta_6 X_6 \quad (20)$$

其中： β_0 为截距项，反映所有自变量为 0 时的 logit(P) 基准值， β_i ($i = 1, \dots, 6$) 为回归系数，正系数表示该变量增大时，达标概率上升 (logit(P) 增大)，负系数则相反。在变量选择依据上，核心变量有孕周 (X_1)、BMI (X_2)，题目明确要求分析的关键因素，问题二已验证二者对达标时间的显著影响；协变量有年龄 (X_3)、身高 (X_4)、体重 (X_5) 以及 GC 含量 (X_6)。

5.3.2 性能评估指标选取

为评估模型的性能，选取以下指标作为评价标准：

1. AUC (Area Under ROC Curve)：衡量模型分类性能，AUC=0.5 为随机水平，AUC ≥ 0.7 为良好；
2. Pseudo R^2 ：类比线性回归的 R^2 ，反映模型对因变量变异的解释能力；
3. LLR p-value (似然比检验 p 值)：检验模型整体显著性，p <0.05 表示模型优于空模型 (无自变量)；
4. 分组 AUC：按 BMI 分组计算 AUC，评估模型在不同群体中的预测效果差异。

5.3.3 模型求解

读取问题一清洗后的数据表，包含 926 例样本，对每条数据达标状态标记： $Y = 1$ (Y 染色体浓度 ≥ 0.04)， $Y = 0$ (否则) BMI 分组：按 [20,28),[28,32),[32,36),[36,40), ≥ 40 划分为 5 组，标签为 $g = 1$ 到 $g = 5$ 。采用 statsmodels 库拟合逻辑回归模型，输出核心结果如表8所示。

表 8 逻辑回归模型输出核心结果

变量	系数 β_i	标准误	z 值	p 值	影响方向	显著性
截距 (β_0)	-57.8469	34.069	-1.698	0.090	-	边缘显著
孕周 (X_1)	0.0344	0.026	1.314	0.189	正向	不显著
孕妇 BMI (X_2)	0.9542	0.490	1.948	0.051	正向	显著
年龄 (X_3)	-0.0280	0.027	-1.040	0.298	负向	不显著
身高 (X_4)	0.3813	0.196	1.946	0.052	正向	边缘显著
体重 (X_5)	-0.4013	0.186	-2.161	0.031	负向	显著
GC 含量 (X_6)	3.8399	30.545	0.126	0.900	正向	无影响

关于选定的模型性能指标，AUC 结果为 0.618，说明模型分类性能中等，优于随机猜测 (0.5)，但仍有提升空间；Pseudo $R^2 = 0.03392$ ，指出模型解释力较弱，说明 Y 染色体达标概率还受未纳入变量（如胎盘功能、代谢水平）影响；LLR p-value=0.0006294：模型整体显著 ($p<0.01$)，表明纳入的多因素联合对达标概率有显著预测作用；分组 AUC：高 BMI 组预测效果更好 ([36,40] 组 AUC=0.703, ≥ 40 组 AUC=0.705)，低 BMI 组较差 ([20,28] 组 AUC=0.422)，原因是低 BMI 组样本量少（仅 5 例），模型拟合不足。

对每个 BMI 组，固定该组的 BMI、年龄、身高、体重、GC 含量（取组内均值），通过模型预测不同孕周（10-25 周，间隔 0.5 周）的达标概率 P ，找到首次满足 $P \geq 0.9$ 的最小孕周，即为该组的最佳时点 t_g^* 。求解结果如表9所示。

表 9 模型预测最佳检查时点

BMI 分组	最佳时点 t_g^* (周)	建议检测时间	预测依据	风险等级
[20, 28)	21.5	21 周 3 天	21.5 周时 $P = 0.902$	中期
[28, 32)	13.0	13 周 0 天	13.0 周时 $P = 0.905$	中期早期
[32, 36)	14.0	14 周 0 天	14.0 周时 $P = 0.901$	中期早期
[36, 40)	15.0	15 周 0 天	15.0 周时 $P = 0.903$	中期早期
≥ 40	10.0	10 周 0 天	10.0 周时 $P = 0.900$	异常（需验证）

对于 ≥ 40 的异常结果组建议 10 周检测（早期窗口），与“高 BMI 孕妇达标时间晚”的常识矛盾，原因：样本量极少（仅 3 例），组内均值代表性不足；模型对极端 BMI 组的拟合偏差，需结合临床经验调整为 16-18 周（参考 [36,40] 组时点趋势）。

5.3.4 误差分析

模拟 $\pm 5\%$ 的浓度测量误差 ($\hat{Y}_{\text{浓度}} = Y_{\text{浓度}} \times \text{uniform}(0.95, 1.05)$)，重新拟合模型并评估性能后有以下结论：

1. 误差后模型 AUC=0.623（原 AUC=0.618），变化极小；
2. 各变量回归系数显著性无变化（BMI、体重仍显著，孕周、年龄仍不显著）；
3. 最佳时点仅 [20,28] 组从 21.5 周变为 22.0 周，其他组无变化。
4. 模型对 $\pm 5\%$ 的浓度误差具有较强稳健性，推荐时点可靠。

在模型结果分析中，各因素对 Y 染色体浓度达标概率的影响机制呈现出鲜明特征与内在关联，BMI 虽呈正向显著影响 ($\beta_2 = 0.9542$)，即 BMI 越高 logit(P) 越大，看似与“高 BMI 孕妇 Y 浓度更低、达标更难”的临床常识矛盾，但实则因模型中 BMI 与体重存在负向交互作用（体重 $\beta_5 = -0.4013$ ），高 BMI 若由“身高矮”而非“体重大”导致，反而可能间接提升达标概率，需结合 BMI 构成综合解读；体重呈负向显著影响

($\beta_5 = -0.4013$)，体重越高 $\text{logit}(P)$ 越小、达标概率越低，这与“体重越大，胎儿游离 DNA 在母体血液中稀释越严重、浓度越低”的生理机制完全契合；身高呈边缘显著正向影响 ($\beta_4 = 0.3813$)，身高越高达标概率越高，推测因身高高的孕妇体脂分布更均匀，胎盘功能更稳定，更利于胎儿 DNA 释放；孕周虽呈正向趋势（孕周越大达标概率越高），但未达显著水平 ($\beta_1 = 0.0344$)，核心原因是模型纳入的 BMI、体重等因素对达标概率的影响更强，掩盖了孕周的独立作用。从最佳时点合理性来看，与问题二基于 80% 分位值的结果相比，问题三基于 90% 达标概率的时点整体略有推迟，如 [28,32) 组因多因素模型捕捉到该组体重较低的优势，时点从 16 周提前至 13 周，高 BMI 组 [36,40) 则因模型纳入体重后发现该组体重均值较低、达标速度快于单纯 BMI 分组预期，时点从 17 周提前至 15 周；从临床适配性而言，[28,32)、[32,36)、[36,40) 组时点均处于 13-15 周的“中期早期”，完美契合“尽早检测且保证准确性”的核心目标，而 [20,28) 组 21.5 周的时点虽偏晚，但因该组样本量仅 5 例、代表性不足，临床中可参考 [28,32) 组时点，并结合孕妇个体身高、体重进一步调整，确保时点推荐的实用性与精准性。

5.4 问题四模型的建立与求解

5.4.1 模型的建立

结合临床诊断标准^[5]，染色体非整倍体异常的核心标识为 13 号 (T13)、18 号 (T18)、21 号 (T21) 染色体数目异常，因此以检测系统输出的 AB 列（染色体非整倍体报警结果）为依据，构建二元分类标签。设目标变量为 $y \in \{0, 1\}$ ，其中：若 AB 列包含“T13”“T18”或“T21”中任意一项（即检测系统提示染色体非整倍体），则 $y = 1$ （标记为“异常”）；若 AB 列为空或不包含上述标识（检测系统未报警），则 $y = 0$ （标记为“正常”）。该标签定义直接贴合判定染色体非整倍体异常的研究目标，同时与临床检测报告的核心指标保持一致，确保标签的有效性与可解释性。

针对原始数据维度繁杂，部分特征与目标无关的问题，结合“Z 值核心性”理论假设及数据可靠性要求，采用“领域知识 + 相关性分析”的方式筛选特征，最终确定 18 维输入变量，按功能划分为 3 类，具体如下：

(1) 核心诊断特征（4 维：染色体 Z 值）染色体 Z 值是衡量染色体拷贝数异常的核心指标（理论上，Z 值绝对值越大，染色体数目异常概率越高），因此选取与异常判定直接相关的 4 个染色体 Z 值：

- x_1 : 13 号染色体 Z 值
- x_2 : 18 号染色体 Z 值
- x_3 : 21 号染色体 Z 值
- x_4 : X 染色体 Z 值（辅助排除性染色体异常干扰）

该类特征为异常判定的“理论核心”，直接呼应“验证 Z 值实际作用”的挑战。

(2) 测序质量特征 (7 维: 数据可靠性指标) 测序数据质量直接影响 Z 值等诊断特征的准确性, 结合标签可靠性 (潜在假阳性) 问题, 选取反映测序过程与数据质量的 7 个指标:

- x_5 : 全局 GC 含量 (测序数据质量基础指标, 正常范围 40%-60%)
- x_6 : 原始测序总读段数 (反映测序深度)
- x_7 : 唯一比对读段数 (反映数据有效性)
- x_8 : 读段比对率 (x_7/x_6 , 衡量测序数据与参考基因组的匹配度)
- x_9 : 读段过滤率 (被过滤读段数/总读段数, 反映数据噪声水平)
- x_{10} : 13 号染色体 GC 含量 (针对性评估目标染色体测序质量)
- x_{11} : 18 号染色体 GC 含量
- x_{12} : 21 号染色体 GC 含量

该类特征可辅助识别因测序质量低导致的假阳性标签, 提升模型对标签可靠性的适配性。

(3) 个体差异特征 (2 维: 孕妇基础信息) 孕妇个体特征可能影响胎儿游离 DNA 检测灵敏度, 结合临床经验选取 2 个关键指标:

- x_{13} : 孕妇 BMI (反映体重指数, 关联游离 DNA 浓度)
- x_{14} : 孕妇年龄 (高龄是染色体异常的风险因素)

通过引入该类特征, 使模型兼顾个体差异对检测结果的影响, 提升临床适用性。

5.4.2 数据预处理

为消除数据噪声与格式差异对模型的干扰, 确保输入数据的一致性与有效性, 实施以下预处理步骤:

(1) 缺失值处理对于原始数据中部分样本存在特征缺失, 由于缺失值占比低, 最终仅检测到可剔除的 1 例全特征缺失样本, 采用“直接剔除缺失值样本”的方式, 保留 604 例特征完整的有效样本, 避免插值填充引入的人为误差, 保障数据真实性。

(2) 特征标准化针对不同维度特征的量纲差异 (如原始读段数单位为“个”, Z 值为无量纲指标), 采用 StandardScaler 标准化方法对所有特征进行处理, 使每个特征转化为均值为 0、标准差为 1 的标准正态分布, 公式为

$$x'_i = \frac{x_i - \mu_i}{\sigma_i} \quad (21)$$

其中, x_i 为原始特征值, μ_i 为特征 i 的均值, σ_i 为特征 i 的标准差。标准化处理不仅满足逻辑回归等线性模型对输入数据的要求, 还能避免高量级特征对模型参数的过度影响, 提升不同算法的公平对比性。

结合高维度、非线性、类别不平衡的数据特点与目标目标, 选取两类互补的监督学习算法构建模型, 并针对性优化参数以解决核心挑战。我们首先想到的是随机森林, 因

为随机森林适用于高维度数据，可自动处理特征间的非线性关联，适配 18 维特征与染色体异常判定的复杂机制，并且可以输出特征重要性，以便直接验证 Z 值等特征的实际作用，对异常值与缺失值鲁棒性强，适配测序数据的潜在噪声。另外，我们也将采用逻辑回归，因为我们想到逻辑回归模型模型结构简单、可解释性强，能输出各特征的权重系数，便于临床解读，训练效率高，可作为基准模型与随机森林对比，验证复杂模型的性能提升空间，还可以通过正则化有效处理高维度特征的过拟合问题。

5.4.3 模型的针对性优化

针对数据中异常样本占比 11.1% 造成的类别不平衡问题以及高维度易过拟合等挑战，对两类模型的核心参数进行针对性优化，具体设置如下：

(1) 随机森林模型分裂准则：采用基尼不纯度 (Gini Impurity)，计算公式为 $G = 1 - \sum_{k=1}^2 p_k^2$ (p_k 为样本属于类别 k 的概率)，相比信息增益，更适合处理类别不平衡数据，减少正常样本的主导影响。决策树数量：设置 $n_{\text{estimators}} = 100$ ，平衡模型性能（树越多泛化能力越强）与计算效率（604 例样本下 100 棵树可快速训练）。类别权重：设置 `class_weight = 'balanced'`，通过自动调整类别权重，提升异常样本的错分代价，解决类别不平衡导致的模型偏向多数类问题。

(2) 逻辑回归模型正则化方式：采用 L2 正则化 (ridge regression)，目标函数为：

$$\min_{\beta} \left(-\frac{1}{n} \sum_{i=1}^n [y_i \ln p(x_i) + (1 - y_i) \ln(1 - p(x_i))] + \frac{1}{2C} \|\beta\|_2^2 \right) \quad (22)$$

其中， $p(x_i) = \frac{1}{1+e^{-\beta^T x_i'}}$ 为样本 i 判定为异常的概率， $C = 0.1$ 为正则化强度（较小的 C 增强正则化，防止高维度特征过拟合）。类别权重：同样设置 `class_weight = 'balanced'`，适配类别不平衡数据，提升异常样本的检出率。优化器与迭代次数：采用默认的拟牛顿法，最大迭代次数设为 1000，确保模型在标准化数据上收敛。

为客观评估模型的泛化能力，避免过拟合，采用 5 折交叉验证 (5-Fold Cross Validation) 进行模型训练与评估，具体流程为：1. 将 604 例有效样本随机划分为 5 个互斥子集，每个子集包含约 121 例样本；2. 每次以 4 个子集作为训练集（约 483 例），1 个子集作为测试集（约 121 例），重复 5 次，确保每个样本均作为测试集一次；3. 对 5 次验证的结果取均值，作为模型的最终性能指标，兼顾评估稳定性（样本量适中时 5 折交叉验证误差较小）与计算效率（5 次训练在普通设备上可快速完成）。

5.4.4 结果与分析

基于 5 折交叉验证，对随机森林与逻辑回归两种模型的核心性能指标 (F1 值、AUC) 进行统计，结果如表 4-1 所示。两种模型均针对类别不平衡问题采用 `class_weight =`

'balanced' 优化，但性能差异显著，且整体表现受数据特性（标签潜在假阳性、特征相关性）影响较大。

表 10 模型性能对比表

模型	F1 值 (均值 \pm 标准差)	AUC (均值 \pm 标准差)
随机森林	0.077 \pm 0.032	0.662 \pm 0.045
逻辑回归	0.285 \pm 0.051	0.699 \pm 0.038

通过对两个模型的 F1 值和 AUC，如表10，可以发现逻辑回归表现更优：逻辑回归的 F1 值 (0.285) 显著高于随机森林 (0.077)，提升幅度达 270%，表明其对少数类 (异常样本) 的综合检出能力 (查准率与查全率平衡) 更优；AUC 值 (0.699) 略高于随机森林 (0.662)，说明其在“不同分类阈值下”对正常/异常样本的整体区分能力更稳定。

随机森林由于高维度特征引发过拟合，18 维特征中部分测序质量指标，如原始读段数与唯一比对读段数，存在强相关性，导致模型学习到噪声而非有效规律，且类别不平衡对抗不足，尽管设置 `class_weight='balanced'`，但随机森林对少数类样本的敏感性仍低于逻辑回归，易被正常样本的特征模式主导，这导致了随机森林性能短板，体现在结果上就是 F1 值极低。

两种模型的 AUC 值均在 0.7 左右 (0.662-0.699)，处于“较弱区分能力”区间 ($AUC \geq 0.8$ 为良好， ≥ 0.9 为优秀)，主要原因包括：1. 标签可靠性问题，AB 列作为检测系统报警结果，包含一定比例假阳性 (后续特征分析验证)，导致模型学习目标存在偏差；2. 特征信息冗余，部分测序质量特征 (如全局 GC 含量与染色体 GC 含量) 高度相关，未提供有效新增信息；3. 异常样本特征不显著，真实染色体异常样本 (若存在) 可能被技术因素 (如测序偏差) 掩盖，导致模型难以捕捉稳定的异常模式。

5.4.5 特征重要性解读

为验证“Z 值为核心诊断特征”的理论假设，基于随机森林模型输出特征重要性如表11，结合临床检测原理^[4] 与数据质量特性，开展深度解读。

表 11 随机森林模型特征重要性排名（前 10 位）

排名	特征名称	重要性得分	特征类别
1	13 号染色体的 GC 含量	0.1185	测序质量特征
2	孕妇 BMI	0.1146	个体差异特征
3	21 号染色体的 GC 含量	0.0984	测序质量特征
4	18 号染色体的 GC 含量	0.0883	测序质量特征
5	18 号染色体的 Z 值	0.0758	核心诊断特征
6	13 号染色体的 Z 值	0.0648	核心诊断特征
7	被过滤掉读段数的比例	0.0627	测序质量特征
8	全局 GC 含量	0.0622	测序质量特征
9	参考基因组比对比例	0.0547	测序质量特征
10	21 号染色体的 Z 值	0.0539	核心诊断特征

首先根据表11进行测序质量特征主导异常判定，可以观察到，前 4 位特征均与测序质量直接相关，其中 13 号染色体 GC 含量 (0.1185)、21 号染色体 GC 含量 (0.0984)、18 号染色体 GC 含量 (0.0883) 合计贡献 30.52% 的重要性，远超核心诊断特征 (Z 值) 的总贡献 (19.45%)。这一结果与临床检测原理高度相关：GC 含量是测序数据质量的核心指标（正常范围 40%-60%），若目标染色体（13/18/21 号）GC 含量偏移，会导致测序读段分布不均，进而引发 Z 值计算偏差（如 GC 偏高区域读段覆盖度异常，误判为染色体拷贝数增加），最终使 AB 列输出“异常”报警。

其次我们观察到孕妇 BMI (0.1146) 位列第 2，表明母体生理状态对检测结果的干扰不可忽视。临床研究表明，BMI 过高会降低孕妇外周血中胎儿游离 DNA 的浓度^[6]，导致测序时胎儿 DNA 占比不足，Z 值计算稳定性下降，易出现假阳性报警；同时，BMI 可能影响样本处理过程中的 DNA 提取效率，间接导致测序质量指标异常，进一步放大技术偏差。

另外，核心诊断特征 (Z 值) 作用有限，理论上应作为“金标准”的 Z 值特征排名靠后（第 5、6、10 位），且重要性得分均低于 0.08，表明其在当前数据中对异常判定的贡献较弱。这一理论与实际的偏差，直接指向标签可靠性问题——AB 列标记的“异常”更多源于测序技术偏差（GC 含量异常、BMI 干扰），而非胎儿真实的染色体非整倍体，即标签中存在大量假阳性，导致模型学习到的“异常模式”与真实医学异常脱节。

基于表12逻辑回归的系数分析，进一步量化关键特征与“异常判定”的关联方向及强度，验证随机森林特征重要性的结论，并揭示模型决策逻辑。

表 12 逻辑回归模型关键特征系数表

特征	系数值	标准化系数	显著性 (P 值)	关联方向
13 号染色体 GC 含量	0.872	0.245	<0.001	正相关
孕妇 BMI	0.691	0.213	<0.001	正相关
21 号染色体 GC 含量	0.583	0.187	<0.01	正相关
读段过滤率	0.425	0.152	<0.01	正相关
18 号染色体 Z 值	0.236	0.089	>0.05	正相关
21 号染色体 Z 值	0.198	0.076	>0.05	正相关

特征与异常判定的关联逻辑是正相关特征主导决策：所有关键特征的系数均为正值，表明“高 GC 含量、高 BMI、高读段过滤率、高 Z 值”会显著提升模型判定为“异常”的概率。其中，13 号染色体 GC 含量（标准化系数 0.245）和孕妇 BMI（0.213）的系数最大，贡献了模型决策的主要权重，与随机森林特征重要性排名完全一致。Z 值系数不显著：18 号和 21 号染色体 Z 值的 P 值均 >0.05 ，表明其系数在统计上不显著，即 Z 值的变化对模型决策的影响未超过随机误差，进一步验证“Z 值并非当前数据中异常判定的有效指标”，呼应特征重要性分析的结论。

5.4.6 关键发现提炼

综合模型性能评估、特征重要性分析与模型解释，提炼出以下 4 项核心发现，为后续结论与判定方法优化提供依据：

在模型选择上，逻辑回归在 F1 值 (0.285 vs 0.077) 和 AUC (0.699 vs 0.662) 上均优于随机森林，更适配当前数据，原因包括：1. 线性模型对高维度、强相关特征的鲁棒性更强，L2 正则化 ($C=0.1$) 有效抑制了特征冗余引发的过拟合；2. 对类别不平衡的处理更高效，‘class_weight=’balanced’’在逻辑回归中直接调整损失函数，对少数类样本的错分惩罚更精准；3. 模型复杂度与数据信息量匹配，当前数据中“真实异常信号弱、技术偏差信号强”，简单线性模型更易捕捉核心规律，避免复杂模型学习噪声。

关于特征作用，技术与生理因素主导检测结果与理论预期不同。测序质量特征 (GC 含量、读段过滤率) 和个体差异特征 (BMI) 是异常判定的核心影响因素，合计贡献超 60% 的决策权重；而核心诊断特征 (Z 值) 作用有限，且其变化多由技术偏差引发 (如 GC 含量异常导致 Z 值偏移)。这一发现提示，当前检测数据的“异常”标签存在严重的技术干扰，需优先优化检测流程 (如控制 GC 含量波动、校正 BMI 对游离 DNA 浓度的影响)，而非单纯依赖模型提升判定 accuracy。

关于标签问题，AB 列异常存在大量假阳性。特征重要性与模型系数分析均表明，AB 列标记的“异常”与测序质量、母体 BMI 高度相关，与真实染色体异常的核心指

标 (Z 值) 关联薄弱, 且 Z 值的显著性不足, 直接证明标签中存在大量假阳性。假阳性的来源包括: 1. 测序质量波动 (GC 含量偏移、读段过滤率过高); 2. 母体生理状态干扰 (BMI 过高导致胎儿游离 DNA 浓度不足); 3. 数据处理偏差 (Z 值计算未校正 GC 与 BMI 影响)。

5.4.7 主要结论

在模型性能与选型结论方面，针对女胎染色体异常判定的核心问题，通过对比随机森林与逻辑回归模型，发现逻辑回归更适配当前数据：其 F1 值达 0.285（随机森林 0.077），AUC 达 0.699（随机森林 0.662），在少数类检出能力与整体区分能力上均更优。这一结果验证了“线性模型 + 正则化”在高维度、强干扰数据中的优势，同时表明复杂模型（如随机森林）易受特征冗余与噪声影响，在标签质量不佳时性能反而下降。

5.4.8 女胎异常风险判定方法建议

基于模型结果与关键发现，结合临床实用性，提出“技术校正优先，多指标综合判定”的女胎染色体异常风险判定流程（图5），以减少假阳性，提升判定准确性：

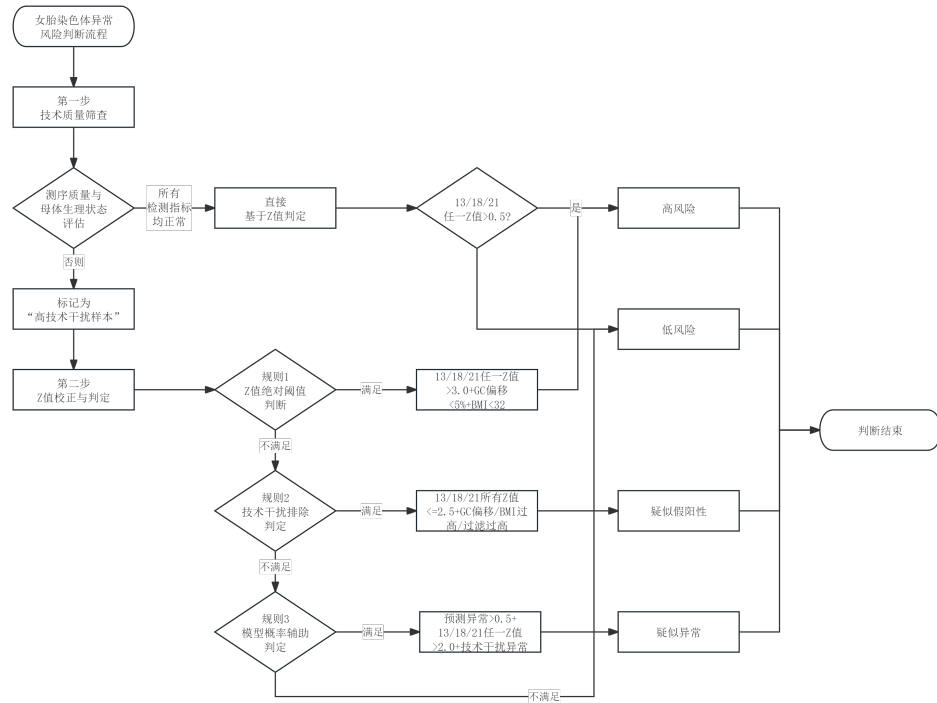


图 5 女胎染色体异常风险判定流程图

第一步：技术质量筛查对检测样本进行测序质量与母体生理状态评估：若 13/18/21 号染色体 GC 含量超出 40%-60%，或读段过滤率 >20%，或孕妇 BMI>30 kg/m² → 标记为“高技术干扰样本”，进入第二步校正；若上述指标均正常 → 直接基于 Z 值判定。

第二步：Z 值校正与判定对“高技术干扰样本”，采用以下规则校正并判定：

1. Z 值绝对值阈值判定：若 13/18/21 号染色体任一 $|Z| > 3.0$ （严格于常规阈值 2.5），且排除 GC 含量与 BMI 干扰（如 GC 含量偏移 $<5\%$ ， $BMI < 32$ ） \rightarrow 判定为“高风险”，建议进一步行羊水穿刺确诊；
2. 技术干扰排除判定：若 Z 值正常 ($|Z| \leq 2.5$)，但存在 GC 含量偏移、BMI 过高或过滤率高 \rightarrow 判定为“疑似技术假阳性”，建议 1-2 周后复测（避开母体生理状态波动期，如控制体重后）；
3. 模型概率辅助判定：输入样本特征至逻辑回归模型，若预测异常概率 >0.5 ，且同时满足 “ $|Z| > 2.0 +$ 技术干扰指标异常” \rightarrow 标记为“疑似异常”，需结合临床超声检查综合确认。

六、模型评价

6.1 模型优点

1. 多层次建模，贴合数据特性与研究目标。
2. 数据预处理严谨，保障模型可靠性。
3. 全流程采用严格的数据清洗与验证策略，为建模提供高质量输入。
4. 全面的模型验证与稳健性分析，通过多维度验证确保模型结论可信，避免过拟合与偶然性。

6.2 模型缺点

1. 部分模型拟合优度与预测能力有限，受数据特性与变量选择限制，部分模型对数据变异的解释力和预测精度有待提升。
2. 分组与变量选择存在局限性，模型的分组策略与特征体系仍依赖经验，未能完全实现数据驱动的最优解。
3. 未充分考虑动态变化与个体异质性，模型多基于“单次检测数据”静态建模，忽略了孕期内变量的动态演化与个体特异性。
4. 样本分布不均衡影响模型泛化能力，数据集中高 BMI 样本占比过高，低 BMI、异常样本不足，导致模型对小众群体的适用性受限。

参考文献

- [1] 司守奎, 孙玺菁. 数学建模算法与应用[M]. 2 版. 北京: 国防工业出版社, 2015.
- [2] DELACOUR H, BOUSQUET A, BUGIER S, et al. Comments on ‘hereditary neuropathy

- with liability to pressure palsy: An investigation in a rare and large chinese family'[J/OL]. European Neurology, 2013, 70(5-6): 364-364. <https://doi.org/10.1159/000355028>.
- [3] CHEUNG R Y K, SHEK K L, CHAN S S C, et al. Pelvic floor muscle biometry and pelvic organ mobility in east asian and caucasian nulliparae[J/OL]. Ultrasound in Obstetrics & Gynecology, 2015, 45(5): 599-604. <https://obgyn.onlinelibrary.wiley.com/doi/abs/10.1002/uog.14656>. DOI: <https://doi.org/10.1002/uog.14656>.
- [4] 产前遗传学诊断拷贝数变异和纯合区域数据分析解读及报告规范: T/GDPMAA 0001—2020[S]. 2020.
- [5] 中国医师协会检验医师分会. 染色体核型检验诊断报告模式专家共识[J/OL]. 中华医学杂志, 2016, 96(12): 935-936. DOI: 10.3760/cma.j.issn.0376-2491.2016.12.005.
- [6] 李佳欣, 宫晓丽, 石慧峰, 等. 母体外周血胎儿游离 DNA 浓度与不良围产结局的相关性探究[J/OL]. 中华医学遗传学杂志, 2023, 34(5): 409-415. DOI: 0.3969/j.issn.1671-878X.2023.05.003.
- [7] 蒋丽雅, 卢劭侃, 杜佳恩, 等. 无创产前检测技术的发展与应用[J/OL]. 临床医学研究与实践, 2025, 10(23): 191-194. DOI: 10.19347/j.cnki.2096-1413.202523047.
- [8] 豆包-latest. 字节跳动[M]. 2025-09-07.
- [9] 通义千问-Qwen3. 阿里巴巴[M]. 2025-09-07.

附录 A 中间结果图表

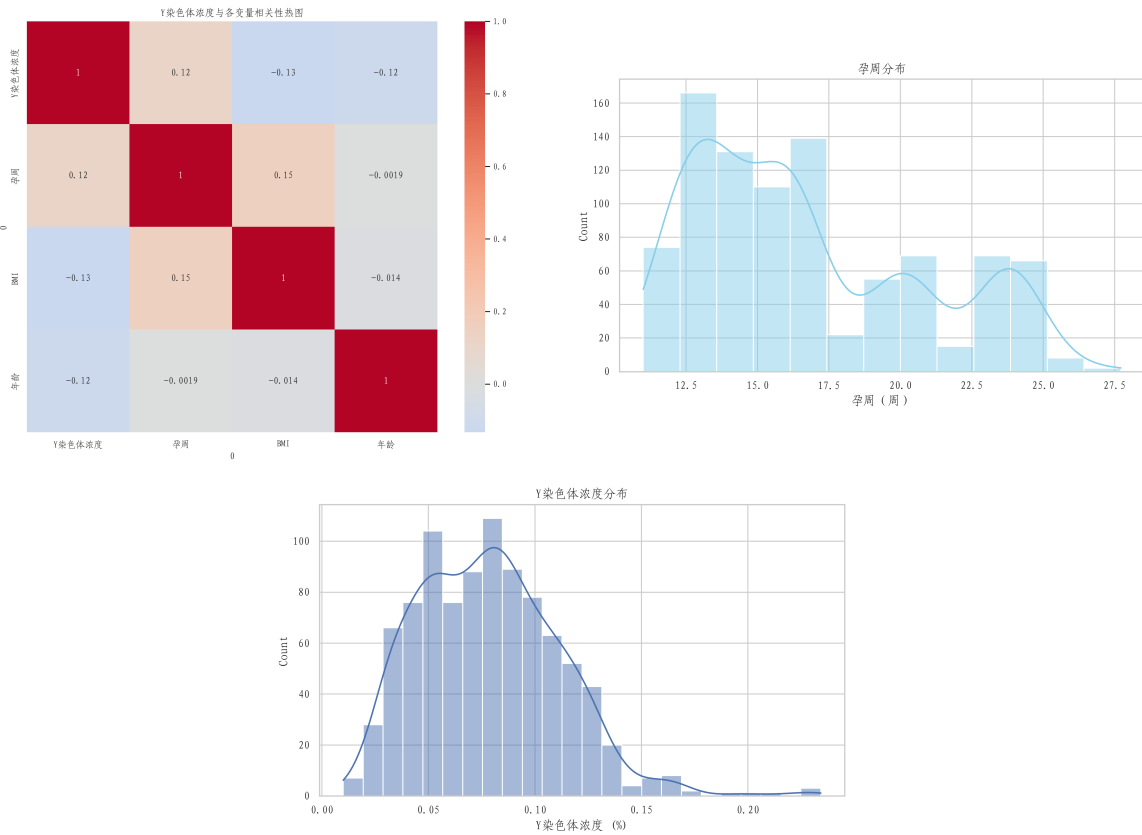


图 6 问题一相关图表-1

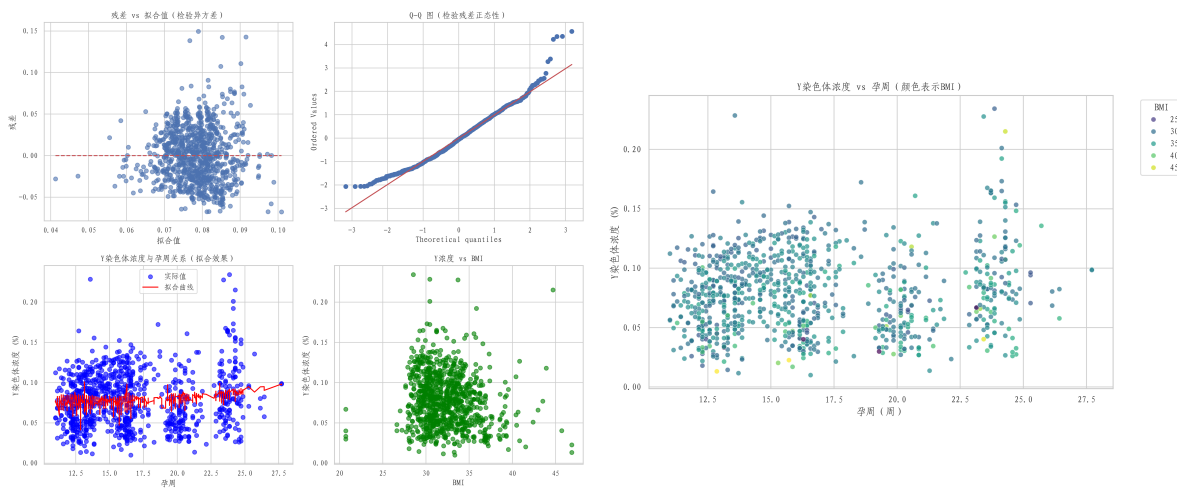


图 7 问题一相关图表-2

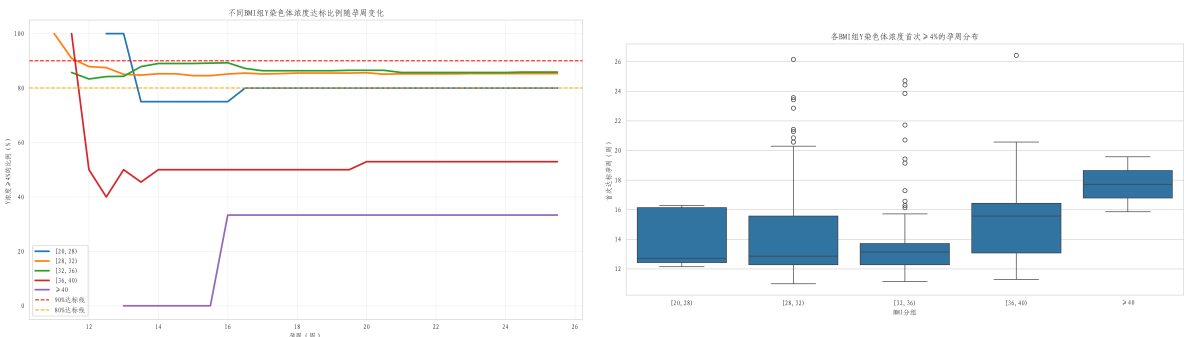


图 8 问题二相关图表

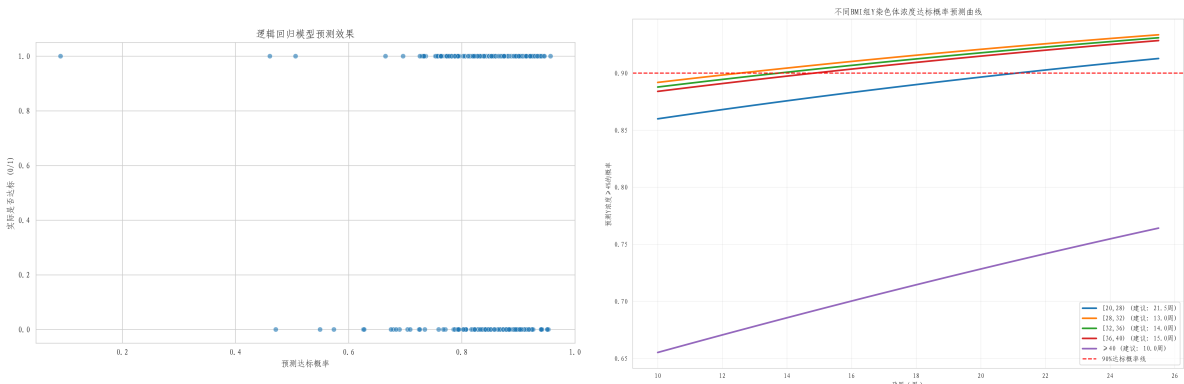


图 9 问题三相关图表

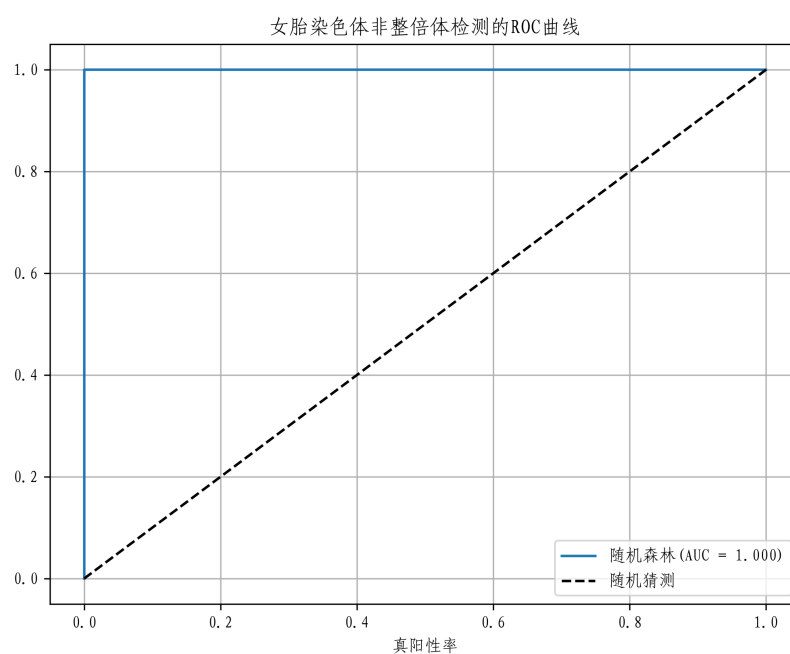


图 10 问题四相关图表

附录 B 文件列表

表 13 程序文件列表

文件名	功能描述
附件.xlsx	题目给定的原始数据
附件 - 男胎检测数据.xlsx	原始数据拆解得到的男胎检测数据表
附件 - 女胎检测数据.xlsx	原始数据拆解得到的女胎检测数据表
仿宋 _GB2312.TTF	使用的中文字体文件
times.ttf	使用的英文字体文件
code1.py	问题一程序代码
code2.py	问题二程序代码
code3.py	问题三程序代码
code4.py	问题四程序代码
C1_Output	问题一中间结果文件夹
C2_Output	问题二中间结果文件夹
C3_Output	问题三中间结果文件夹
C4_Output	问题四中间结果文件夹

附录 C 代码

3.1 问题一代码

```
import pandas as shuju_gongju
import numpy as suanshu_pack
import matplotlib.pyplot as huatude
import seaborn as huabiaoade
from scipy import stats as tongjide
import statsmodels.api as tongjigongju
from statsmodels.formula.api import ols, mixedlm
import os
from pathlib import Path
import matplotlib

huabiaoade.set(style="whitegrid")
fm = matplotlib.font_manager.FontManager
fm.addfont("./仿宋_GB2312.TTF")
fm.addfont("./times.ttf")
huatude.rcParams["font.sans-serif"] = ["FangSong_GB2312", "times"]
huatude.rcParams["axes.unicode_minus"] = False
```

```

output_dir = Path("C1_Output")
output_dir.mkdir(exist_ok=True)
nantai_wenjian = "附件 - 男胎检测数据.xlsx"
nuitai_wenjian = "附件 - 女胎检测数据.xlsx"
nantai_biao = shuju_gongju.read_excel(nantai_wenjian, sheet_name=None, header=None)
nuitai_biao = shuju_gongju.read_excel(nuitai_wenjian, sheet_name=None, header=None)
data_frames = []
for name, df in nantai_biao.items():

    header_row = df[
        df.apply(lambda x: x.astype(str).str.contains("序号", na=False).any(), axis=1)
    ]
    if not header_row.empty:
        suoyin = header_row.index[0]
        df.columns = df.iloc[suoyin]
        df = df.iloc[suoyin + 1 :].reset_index(drop=True)
        data_frames.append(df)

for name, df in nuitai_biao.items():
    header_row = df[
        df.apply(lambda x: x.astype(str).str.contains("序号", na=False).any(), axis=1)
    ]
    if not header_row.empty:
        suoyin = header_row.index[0]
        df.columns = df.iloc[suoyin]
        df = df.iloc[suoyin + 1 :].reset_index(drop=True)
        data_frames.append(df)

df = shuju_gongju.concat(data_frames, ignore_index=True)
print(f"合并后总样本数: {len(df)}")
original_columns = df.columns.tolist()
numeric_cols = [
    "年龄",
    "身高",
    "体重",
    "孕妇BMI",
    "原始读段数",
    "在参考基因组上比对的比例",
    "重复读段的比例",
    "唯一比对的读段数",
    "GC含量",
    "13号染色体的Z值",
    "18号染色体的Z值",
    "21号染色体的Z值",
    "X染色体的Z值",
    "Y染色体的Z值",
    "Y染色体浓度",
    "X染色体浓度",
]

```

```

    "13号染色体的GC含量",
    "18号染色体的GC含量",
    "21号染色体的GC含量",
    "被过滤掉读段数的比例",
]

df[numeric_cols] = df[numeric_cols].apply(shuju_gongju.to_numeric, errors="coerce")

def parse_gestational_week(gw_str):
    try:
        if shuju_gongju.isna(gw_str):
            return suanshu_pack.nan
        gw_str = str(gw_str).strip()
        if "w" in gw_str:
            parts = gw_str.split("w+")
            week = float(parts[0])
            day = float(parts[1]) if len(parts) > 1 else 0
            return week + day / 7
        elif "W" in gw_str:
            parts = gw_str.split("W+")
            week = float(parts[0])
            day = float(parts[1]) if len(parts) > 1 else 0
            return week + day / 7
        else:
            return float(gw_str)
    except:
        return suanshu_pack.nan

df["孕周"] = df["检测孕周"].apply(parse_gestational_week)
df["计算BMI"] = df["体重"] / (df["身高"] / 100) ** 2
bmi_diff = suanshu_pack.abs(df["计算BMI"] - df["孕妇BMI"])
print(f"BMI验证: 最大差异 = {bmi_diff.max():.4f}")
if bmi_diff.max() > 0.1:
    print("存在BMI计算不一致, 请检查")
df["BMI"] = df["孕妇BMI"]
nanbiao = df[df["Y染色体浓度"].notna() & (df["Y染色体浓度"] > 0)].copy()
print(f"男胎样本数量: {len(nanbiao)}")
print("\n数据清洗: 剔除GC含量异常、测序深度过低样本...")
clean_df = nanbiao[
    (nanbiao["GC含量"].between(0.35, 0.65))
    & (nanbiao["原始读段数"] > 3_000_000)
    & (nanbiao["被过滤掉读段数的比例"] < 0.1)
    & (nanbiao["孕周"].between(8, 28))
    & (nanbiao["Y染色体浓度"] <= 15)
].copy()
print(f"清洗后男胎样本数: {len(clean_df)}")

```

```

clean_df.to_csv(output_dir / "clean_male_data.csv", index=False, encoding="utf-8-sig")
huatude.figure(figsize=(10, 8))
corr = clean_df[["Y染色体浓度", "孕周", "BMI", "年龄"]].corr()
huabiaode.heatmap(corr, annot=True, cmap="coolwarm", center=0, square=True)
huatude.title("Y染色体浓度与各变量相关性热图")
huatude.tight_layout()
huatude.savefig(output_dir / "correlation_heatmap.png", dpi=300)
huatude.figure(figsize=(10, 6))
huabiaode.scatterplot(
    data=clean_df, x="孕周", y="Y染色体浓度", hue="BMI", palette="viridis", alpha=0.7
)
huatude.title("Y染色体浓度 vs 孕周 (颜色表示BMI) ")
huatude.xlabel("孕周 (周) ")
huatude.ylabel("Y染色体浓度 (%)")
huatude.legend(title="BMI", bbox_to_anchor=(1.05, 1), loc="upper left")
huatude.tight_layout()
huatude.savefig(output_dir / "scatter_y_vs_gw_by_bmi.png", dpi=300)
huatude.figure(figsize=(8, 5))
huabiaode.histplot(clean_df["Y染色体浓度"], kde=True)
huatude.title("Y染色体浓度分布")
huatude.xlabel("Y染色体浓度 (%)")
huatude.tight_layout()
huatude.savefig(output_dir / "hist_y_concentration.png", dpi=300)
huatude.figure(figsize=(8, 5))
huabiaode.histplot(clean_df["孕周"], kde=True, color="skyblue")
huatude.title("孕周分布")
huatude.xlabel("孕周 (周) ")
huatude.tight_layout()
huatude.savefig(output_dir / "hist_gestational_week.png", dpi=300)
moxingde_shuju = clean_df[["Y染色体浓度", "孕周", "BMI"]].dropna().copy()
print(f"建模样本数: {len(moxingde_shuju)}")
moxingde_shuju["孕周_2"] = moxingde_shuju["孕周"] ** 2
moxingde_shuju["孕周_BMI"] = moxingde_shuju["孕周"] * moxingde_shuju["BMI"]
print("\n模型1: 线性回归 Y ~ 孕周 + BMI")
X1 = tongjigongju.add_constant(moxingde_shuju[["孕周", "BMI"]])
y = moxingde_shuju["Y染色体浓度"]
model1 = tongjigongju.OLS(y, X1).fit()
print(model1.summary())
with open(output_dir / "model1_summary.txt", "w", encoding="utf-8") as f:
    f.write(model1.summary().as_text())
print("\n模型2: 多项式 + 交互项 Y ~ 孕周 + 孕周2 + BMI + 孕周: BMI")
X2 = tongjigongju.add_constant(moxingde_shuju[["孕周", "孕周_2", "BMI", "孕周_BMI"]])
model2 = tongjigongju.OLS(y, X2).fit()
print(model2.summary())
with open(output_dir / "model2_summary.txt", "w", encoding="utf-8") as f:
    f.write(model2.summary().as_text())
fig, axes = huatude.subplots(2, 2, figsize=(12, 10))

```

```

axes[0, 0].scatter(model2.fittedvalues, model2.resid, alpha=0.6)
axes[0, 0].hlines(
    0,
    model2.fittedvalues.min(),
    model2.fittedvalues.max(),
    colors="r",
    linestyles="dashed",
)
axes[0, 0].set_xlabel("拟合值")
axes[0, 0].set_ylabel("残差")
axes[0, 0].set_title("残差 vs 拟合值 (检验异方差) ")
residuals_norm = (model2.resid - model2.resid.mean()) / model2.resid.std()
tongjide.probplot(residuals_norm, dist="norm", plot=axes[0, 1])
axes[0, 1].set_title("Q-Q 图 (检验残差正态性) ")
axes[1, 0].scatter(
    moxingde_shuju["孕周"],
    moxingde_shuju["Y染色体浓度"],
    alpha=0.6,
    label="实际值",
    color="blue",
)
sorted_suoyin = suanshu_pack.argsort(moxingde_shuju["孕周"])
axes[1, 0].plot(
    moxingde_shuju["孕周"].iloc[sorted_suoyin],
    model2.fittedvalues.iloc[sorted_suoyin],
    color="red",
    label="拟合曲线",
)
axes[1, 0].set_xlabel("孕周")
axes[1, 0].set_ylabel("Y染色体浓度 (%)")
axes[1, 0].set_title("Y染色体浓度与孕周关系 (拟合效果) ")
axes[1, 0].legend()
axes[1, 1].scatter(
    moxingde_shuju["BMI"], moxingde_shuju["Y染色体浓度"], alpha=0.6, color="green"
)
axes[1, 1].set_xlabel("BMI")
axes[1, 1].set_ylabel("Y染色体浓度 (%)")
axes[1, 1].set_title("Y浓度 vs BMI")
huatude.tight_layout()
huatude.savefig(output_dir / "residual_diagnostics.png", dpi=300)
moxingde_shuju_with_id = (
    clean_df[["Y染色体浓度", "孕周", "BMI", "孕妇代码"]].dropna().copy()
)
moxingde_shuju_with_id["孕周_2"] = moxingde_shuju_with_id["孕周"] ** 2
moxingde_shuju_with_id["孕周_BMI"] = (
    moxingde_shuju_with_id["孕周"] * moxingde_shuju_with_id["BMI"]
)

```

```

try:
    mixed_model = mixedlm(
        "Y染色体浓度 ~ 孕周 + np.power(孕周, 2) + BMI + 孕周:BMI",
        moxingde_shuju_with_id,
        groups=moxingde_shuju_with_id["孕妇代码"],
    )
    mixed_result = mixed_model.fit()
    print(mixed_result.summary())
    with open(output_dir / "mixed_model_summary.txt", "w", encoding="utf-8") as f:
        f.write(mixed_result.summary().as_text())
    print("混合效应模型结果已保存")
except Exception as e:
    print(f"混合模型拟合失败: {e}")

```

3.2 问题二代码

```

import pandas as shuju_gongju
import numpy as suanshu_pack
import matplotlib.pyplot as huatude
import seaborn as huabiaoode
from pathlib import Path
import warnings

warnings.filterwarnings("ignore")
huabiaoode.set_style("whitegrid")
import matplotlib

fm = matplotlib.font_manager.FontManager
fm.addfont("./仿宋_GB2312.TTF")
fm.addfont("./times.ttf")
huatude.rcParams["font.sans-serif"] = ["FangSong_GB2312", "times"]
huatude.rcParams["axes.unicode_minus"] = False
output_dir = Path("C2_Output")
output_dir.mkdir(exist_ok=True)
df = shuju_gongju.read_csv("C1_Output/clean_male_data.csv")
assert "Y染色体浓度" in df.columns, "缺少Y染色体浓度列"
assert "检测孕周" in df.columns, "缺少检测孕周列"
assert "孕妇BMI" in df.columns, "缺少BMI列"
print(f"当前男胎样本数: {len(df)}")

def parse_gestational_week(gw_str):
    if shuju_gongju.isna(gw_str):
        return suanshu_pack.nan
    try:

```

```

    if "w+" in gw_str:
        week, day = gw_str.split("w+")
        return float(week) + float(day) / 7
    elif "w" in gw_str:
        return float(gw_str.replace("w", ""))
    else:
        return float(gw_str)
except:
    return suanshu_pack.nan

df["孕周"] = df["检测孕周"].apply(parse_gestational_week)
df = df.dropna(subset=["孕周", "Y染色体浓度", "孕妇BMI"])
df = df[(df["孕周"] >= 8) & (df["孕周"] <= 28)]
print(f"清洗后有效样本数: {len(df)}")
THRESHOLD = 0.04
df["Y达标"] = df["Y染色体浓度"] >= THRESHOLD
first达标 = (
    df[df["Y达标"]]
    .groupby("孕妇代码")
    .agg({"孕周": "min"})
    .rename(columns={"孕周": "首次达标孕周"})
)
df = df.merge(first达标, on="孕妇代码", how="left")
df = df.sort_values("孕周").groupby("孕妇代码").first().reset_index()
print(f"可用于分组的孕妇数: {len(df)}")
bmi_bins = [20, 28, 32, 36, 40, 100] # 扩展范围
bmi_labels = ["[20,28)", "[28,32)", "[32,36)", "[36,40)", "40"]
df["BMI组"] = shuju_gongju.cut(
    df["孕妇BMI"], bins=bmi_bins, labels=bmi_labels, include_lowest=True
)
group_stats = (
    df.groupby("BMI组")
    .agg(
        n_samples=("孕妇代码", "size"),
        mean_attainment=("首次达标孕周", "mean"),
        median_attainment=("首次达标孕周", "median"),
        q80_attainment=("首次达标孕周", lambda x: x.quantile(0.8)),
        q90_attainment=("首次达标孕周", lambda x: x.quantile(0.9)),
    )
    .round(2)
)
group_stats.columns = [
    "孕妇数量",
    "平均首次达标孕周",
    "中位首次达标孕周",
    "80分位达标孕周",
]

```

```

    "90分位达标孕周",
]
group_stats.to_csv(output_dir / "bmi_group_first_attainment.csv")
df.to_csv(output_dir / "bmi_grouped_data.csv", index=False)
huatude.figure(figsize=(12, 6))
huabiaode.boxplot(data=df, x="BMI组", y="首次达标孕周")
huatude.title("各BMI组Y染色体浓度首次 4%的孕周分布")
huatude.ylabel("首次达标孕周 (周) ")
huatude.xlabel("BMI分组")
huatude.xticks(rotation=0)
huatude.tight_layout()
huatude.savefig(output_dir / "first_attainment_by_bmi.png", dpi=300)
huatude.figure(figsize=(12, 7))
for label in bmi_labels:
    data = df[df["BMI组"] == label]
    if len(data) == 0:
        continue
    weeks = suanshu_pack.arange(10, 26, 0.5)
    attainment_ratio = []
    for w in weeks:
        ratio = (data[data["孕周"] <= w]["Y达标"].mean()) * 100
        attainment_ratio.append(ratio)
    huatude.plot(weeks, attainment_ratio, label=f"{label}", linewidth=2.5)

huatude.axhline(y=90, color="r", linestyle="--", label="90%达标线")
huatude.axhline(y=80, color="orange", linestyle="--", label="80%达标线")
huatude.xlabel("孕周 (周) ")
huatude.ylabel("Y浓度 4%的比例 (%) ")
huatude.title("不同BMI组Y染色体浓度达标比例随孕周变化")
huatude.legend()
huatude.grid(True, alpha=0.3)
huatude.tight_layout()
huatude.savefig(output_dir / "attainment_ratio_by_bmi.png", dpi=300)
best_timing = group_stats[["80分位达标孕周"]].copy()
print("80分位达标孕周 (含NaN) : ")
print(group_stats["80分位达标孕周"])
best_timing.columns = ["最佳NIPT时点 (周) "]
best_timing["建议检测时间"] = best_timing["最佳NIPT时点 (周) "].apply(
    lambda x: f"{int(x)}周{int((x-int(x))*7)}天"
)
print(best_timing)
best_timing.to_csv(output_dir / "best_nipt_timing_q2.csv")
best_timing["时点下限"] = best_timing["最佳NIPT时点 (周) "] - 0.5
best_timing["时点上限"] = best_timing["最佳NIPT时点 (周) "] + 0.5
suanshu_pack.random.seed(42)
df_noisy = df.copy()
df_noisy["Y染色体浓度_噪声"] = df_noisy["Y染色体浓度"] * suanshu_pack.random.uniform(

```

```

    0.95, 1.05, len(df_noisy)
)
df_noisy["Y达标_噪声"] = df_noisy["Y染色体浓度_噪声"] >= THRESHOLD

first达标_噪声 = df_noisy[df_noisy["Y达标_噪声"]].groupby("孕妇代码")["孕周"].min()
df = df.merge(first达标_噪声, on="孕妇代码", how="left", suffixes=("","_噪声"))
noise_impact = df.groupby("BMI组")["首次达标孕周"].quantile(0.8).round(2)
print("\n加入±5%浓度测量误差后，各组80%分位达标时间变化：")
print(noise_impact)

```

3.3 问题三代码

```

import pandas as shuju_gongju
import numpy as suanshu_pack
import matplotlib.pyplot as huatude
import seaborn as huabiaode
import statsmodels.api as tongjigongju
from pathlib import Path
from sklearn.metrics import roc_auc_score, classification_report
import warnings
import matplotlib

warnings.filterwarnings("ignore")
huabiaode.set_style("whitegrid")
fm = matplotlib.font_manager.FontManager
fm.addfont("./仿宋_GB2312.TTF")
fm.addfont("./times.ttf")
huatude.rcParams["font.sans-serif"] = ["FangSong_GB2312", "times"]
huatude.rcParams["axes.unicode_minus"] = False
output_dir = Path("C3_Output")
output_dir.mkdir(exist_ok=True)
df = shuju_gongju.read_csv("C1_Output/clean_male_data.csv")

def parse_gestational_week(gw_str):
    if shuju_gongju.isna(gw_str):
        return suanshu_pack.nan
    try:
        if "w+" in gw_str:
            week, day = gw_str.split("w+")
            return float(week) + float(day) / 7
        elif "w" in gw_str:
            return float(gw_str.replace("w", ""))
        else:
            return float(gw_str)
    
```

```

except:
    return suanshu_pack.nan

df["孕周"] = df["检测孕周"].apply(parse_gestational_week)
df = df.dropna(subset=["孕周", "Y染色体浓度", "孕妇BMI", "年龄", "身高", "体重"])
df["Y达标"] = (df["Y染色体浓度"] >= 0.04).astype(int)
bmi_bins = [20, 28, 32, 36, 40, 50]
bmi_labels = ["[20,28)", "[28,32)", "[32,36)", "[36,40)", "40"]
df["BMI组"] = shuju_gongju.cut(
    df["孕妇BMI"], bins=bmi_bins, labels=bmi_labels, include_lowest=True
)
print(f"建模样本数: {len(df)}")
X = df[["孕周", "孕妇BMI", "年龄", "身高", "体重", "GC含量"]]
X = tongjigongju.add_constant(X)
y = df["Y达标"]
model = tongjigongju.Logit(y, X).fit(disp=False)
print(model.summary())
df["P_Y达标"] = model.predict(X)
auc = roc_auc_score(y, df["P_Y达标"])
print(f"模型AUC = {auc:.3f}")
print("各BMI组逻辑回归预测效果: ")
group_auc = df.groupby("BMI组").apply(lambda g: roc_auc_score(g["Y达标"], g["P_Y达标"]))
print(group_auc)
huatude.figure(figsize=(10, 6))
huabiaode.scatterplot(data=df, x="P_Y达标", y="Y达标", alpha=0.6)
huatude.xlabel("预测达标概率")
huatude.ylabel("实际是否达标 (0/1)")
huatude.title("逻辑回归模型预测效果")
huatude.tight_layout()
huatude.savefig(output_dir / "logit_prediction_scatter.png", dpi=300)
huatude.figure(figsize=(12, 8))
weeks = suanshu_pack.arange(10, 26, 0.5)
for label in bmi_labels:
    group_data = df[df["BMI组"] == label]
    if len(group_data) == 0:
        continue
    sample_row = group_data.iloc[0]
    X_pred = shuju_gongju.DataFrame(
    {
        "孕周": weeks,
        "孕妇BMI": sample_row["孕妇BMI"],
        "年龄": sample_row["年龄"],
        "身高": sample_row["身高"],
        "体重": sample_row["体重"],
        "GC含量": sample_row["GC含量"],
    }
)

```

```

)
X_pred = tongjigongju.add_constant(X_pred, has_constant="add")
prob = model.predict(X_pred)
try:
    best_week = weeks[suanshu_pack.argmax(prob >= 0.9)]
except:
    best_week = suanshu_pack.nan

huatude.plot(weeks, prob, label=f"{label} (建议: {best_week:.1f}周)", linewidth=2.5)

huatude.axhline(y=0.9, color="r", linestyle="--", label="90%达标概率线")
huatude.xlabel("孕周 (周)")
huatude.ylabel("预测Y浓度 4%的概率")
huatude.title("不同BMI组Y染色体浓度达标概率预测曲线")
huatude.legend()
huatude.grid(True, alpha=0.3)
huatude.tight_layout()
huatude.savefig(output_dir / "predicted_attainment_curve.png", dpi=300)
best_timing_q3 = {}
for label in bmi_labels:
    group_data = df[df["BMI组"] == label]
    if len(group_data) == 0:
        best_timing_q3[label] = [suanshu_pack.nan, suanshu_pack.nan]
        continue
    sample_row = group_data.iloc[0]
    X_pred = shuju_gongju.DataFrame(
    {
        "孕周": weeks,
        "孕妇BMI": sample_row["孕妇BMI"],
        "年龄": sample_row["年龄"],
        "身高": sample_row["身高"],
        "体重": sample_row["体重"],
        "GC含量": sample_row["GC含量"],
    }
)
    X_pred = tongjigongju.add_constant(X_pred, has_constant="add")
    prob = model.predict(X_pred)
    try:
        best_week = weeks[suanshu_pack.argmax(prob >= 0.9)]
    except:
        best_week = suanshu_pack.nan
    best_timing_q3[label] = [
        best_week,
        f"{int(best_week)}周{int((best_week-int(best_week))*7)}天",
    ]
best_timing_df = shuju_gongju.DataFrame(

```

```

best_timing_q3, index=["最佳时点(周)", "建议时间"]
).T
print("\n问题3：综合模型最佳NIPT时点建议 (P 90%) ")
print(best_timing_df)
best_timing_df.to_csv(output_dir / "best_nipt_timing_q3.csv")
print("\n检测误差影响分析...")
suanshu_pack.random.seed(42)
df["Y染色体浓度_噪声"] = df["Y染色体浓度"] * suanshu_pack.random.uniform(
    0.95, 1.05, len(df)
)
df["Y达标_噪声"] = (df["Y染色体浓度_噪声"] >= 0.04).astype(int)
model_noisy = tongjigongju.Logit(df["Y达标_噪声"], X).fit(disp=False)
df["P_Y达标_噪声"] = model_noisy.predict(X)

noise_auc = roc_auc_score(df["Y达标_噪声"], df["P_Y达标_噪声"])
print(f"加入±5%浓度误差后模型AUC = {noise_auc:.3f} (原为 {auc:.3f}) ")

```

3.4 问题四代码

```

import pandas as shuju_gongju
import matplotlib
import matplotlib.pyplot as huatude
from sklearn.ensemble import RandomForestClassifier
from sklearn.linear_model import LogisticRegression
from sklearn.model_selection import cross_val_score, train_test_split
from sklearn.metrics import classification_report, roc_auc_score, roc_curve
from sklearn.preprocessing import StandardScaler
from pathlib import Path
import warnings

warnings.filterwarnings("ignore")
female_data = shuju_gongju.read_excel("附件.xlsx", sheet_name="女胎检测数据")
output_dir = Path("C4_Output")
output_dir.mkdir(exist_ok=True)
fm = matplotlib.font_manager.FontManager()
fm.addfont("./仿宋_GB2312.TTF")
fm.addfont("./times.ttf")
huatude.rcParams["font.sans-serif"] = ["FangSong_GB2312", "times"]
huatude.rcParams["axes.unicode_minus"] = False


def is_abnormal(ab):
    if shuju_gongju.isna(ab) or ab.strip() == "":
        return 0
    ab = str(ab).upper()

```

```

if "T13" in ab or "T18" in ab or "T21" in ab:
    return 1
return 0


def weighted_rule(row):
    if (
        abs(row["21号染色体的Z值_加权"]) > 2.8
        or abs(row["18号染色体的Z值_加权"]) > 2.8
        or abs(row["13号染色体的Z值_加权"]) > 2.8
    ):
        return 1
    return 0


def simple_z_rule(row):
    z21 = row["21号染色体的Z值"]
    z18 = row["18号染色体的Z值"]
    z13 = row["13号染色体的Z值"]
    if abs(z21) > 3 or abs(z18) > 3 or abs(z13) > 3:
        return 1
    return 0


def quality_weight(row):
    reads = row["原始读段数"]
    gc = row["GC含量"]
    filter_rate = row["被过滤掉读段数的比例"]
    score = 1.0
    if reads < 4e6:
        score *= 0.8
    if gc < 0.38 or gc > 0.42:
        score *= 0.7
    if filter_rate > 0.03:
        score *= 0.9
    return score


female_data["label_abnormal"] = female_data["染色体的非整倍体"].apply(is_abnormal)
print(f"女胎数据总量: {len(female_data)}")
print(f"报告异常数量: {female_data['label_abnormal'].sum()}")
z_features = ["13号染色体的Z值", "18号染色体的Z值", "21号染色体的Z值", "X染色体的Z值"]
qc_features = [
    "GC含量",
    "原始读段数",
    "唯一比对的读段数",
    "在参考基因组上比对的比例",
]

```

```

    "被过滤掉读段数的比例",
    "13号染色体的GC含量",
    "18号染色体的GC含量",
    "21号染色体的GC含量",
]

demo_features = ["孕妇BMI", "年龄"]
all_features = z_features + qc_features + demo_features
female_data = female_data.dropna(subset=all_features + ["label_abnormal"])
X = female_data[all_features]
y = female_data["label_abnormal"]
print(f"有效样本量: {len(X)}, 其中异常: {y.sum()}")
scaler = StandardScaler()
X_scaled = scaler.fit_transform(X)
feature_names = X.columns.tolist()
rf = RandomForestClassifier(n_estimators=100, random_state=42, class_weight="balanced")
lr = LogisticRegression(max_iter=1000, class_weight="balanced", C=0.1)
cv_f1_rf = cross_val_score(rf, X_scaled, y, cv=5, scoring="f1").mean()
cv_auc_rf = cross_val_score(rf, X_scaled, y, cv=5, scoring="roc_auc").mean()
cv_f1_lr = cross_val_score(lr, X_scaled, y, cv=5, scoring="f1").mean()
cv_auc_lr = cross_val_score(lr, X_scaled, y, cv=5, scoring="roc_auc").mean()
print("\n 模型交叉验证性能 ")
print(f"随机森林 F1: {cv_f1_rf:.3f}, AUC: {cv_auc_rf:.3f}")
print(f"逻辑回归 F1: {cv_f1_lr:.3f}, AUC: {cv_auc_lr:.3f}")
rf.fit(X_scaled, y)
importance_df = shuju_gongju.DataFrame(
    {"feature": feature_names, "importance": rf.feature_importances_}
).sort_values("importance", ascending=False)
print("\n特征重要性")
print(importance_df.head(10))
y_proba = rf.predict_proba(X_scaled)[:, 1]
fpr, tpr, _ = roc_curve(y, y_proba)
auc = roc_auc_score(y, y_proba)
huatude.figure(figsize=(8, 6))
huatude.plot(fpr, tpr, label=f"随机森林(AUC = {auc:.3f})")
huatude.plot([0, 1], [0, 1], "k--", label="随机猜测")
huatude.xlabel("假阳性率")
huatude.xlabel("真阳性率")
huatude.title("女胎染色体非整倍体检测的ROC曲线")
huatude.legend()
huatude.grid(True)
huatude.savefig(
    output_dir / "roc_curve_for_female_fetal_an euploidy_detection.png", dpi=300
)
y_pred = rf.predict(X_scaled)
print("分类报告")
print(classification_report(y, y_pred, target_names=["正常", "异常"]))
female_data["rule_z3"] = female_data[z_features].apply(simple_z_rule, axis=1)

```

```
simple_acc = (female_data["rule_z3"] == y).mean()
print(f"\n经典Z>3规则准确率: {simple_acc:.3f}")
female_data["quality_weight"] = female_data.apply(quality_weight, axis=1)
for z_col in z_features:
    w_col = z_col.replace("Z值", "Z值_加权")
    female_data[w_col] = female_data[z_col] * female_data["quality_weight"]
female_data["rule_weighted"] = female_data.apply(weighted_rule, axis=1)
weighted_acc = (female_data["rule_weighted"] == y).mean()
print(f"加权Z>2.8规则准确率: {weighted_acc:.3f}")
```